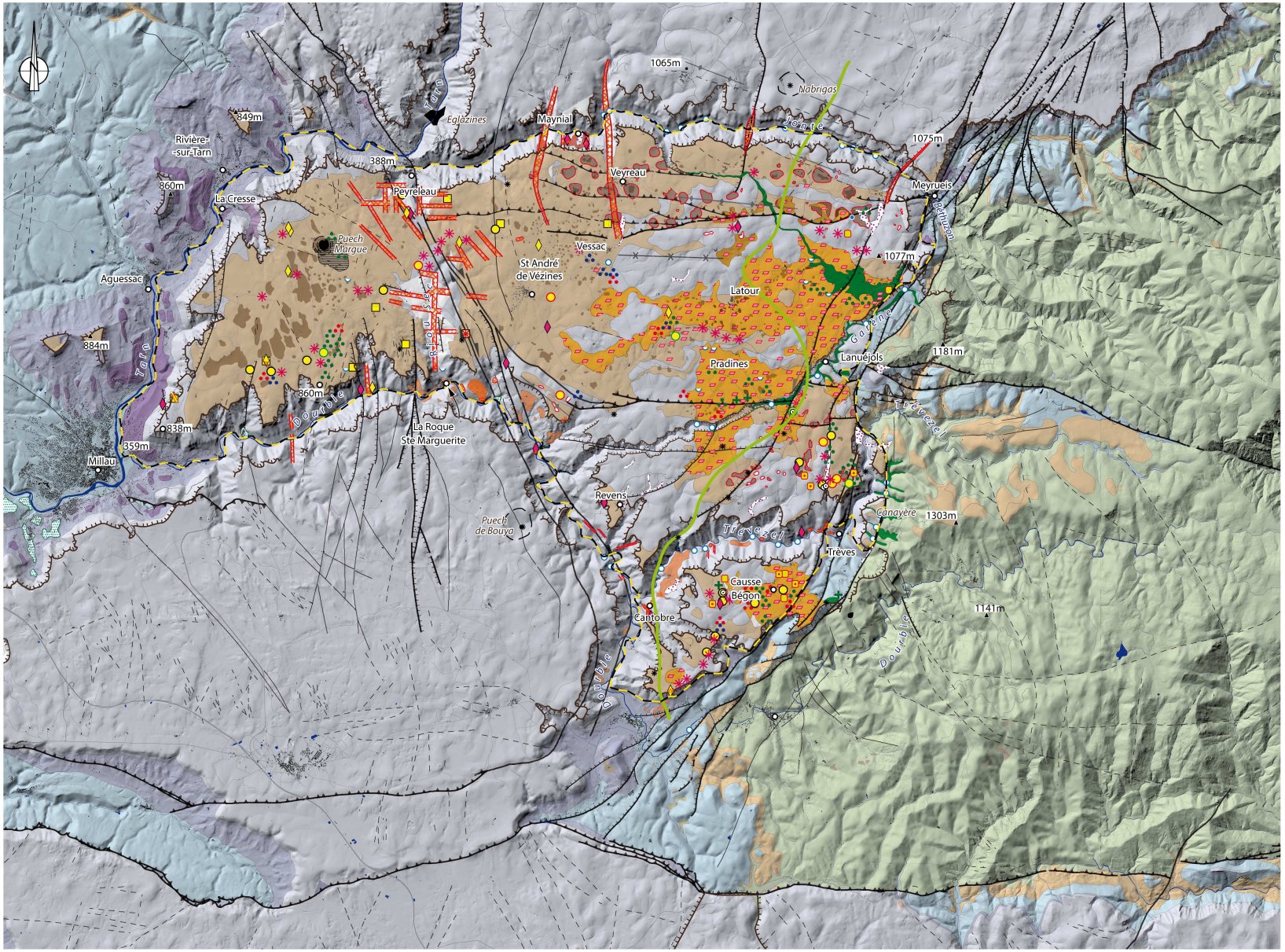


Cartographie des formations superficielles et couvertures karstiques du Causse Noir et du Causse Bégon.

GEOTER

Parc naturel régional des Grands Causses

Echelle : 1/100.000

Rapport : PRO-R-2018-08

0 2,5 5 10 km

Auteur : H. CAMUS
Vérificateur : C. DUVAIL
Approbateur : Ph. COMBES

ANNEXE 1

Planimétrie
- Périmètre d'étude
- Bordure du causse
- Bâtis et routes

Couvertures sédimentaires et altérites associées
- Galets de Crétacé supérieur marin / Galets de Crétacé supérieur marin ferruginisés
- Gravillons et dragées de quartz sidérolithiques
- Nodules de fer sidérolithiques
- Remplissage de mégadolines
- Limite ouest des indices de grès du Crétacé supérieur

Couvertures issues des altérations du substratum
- Croûtes de calcite
- Brèches d'altération
- Fantôme de roche
- Argiles à chailles
- Chailles éparses
- Grésou
- Remplissage de grésou dans des dolines et dans des canaules

Couvertures fluviatiles
- Formations fluviatiles cevenole
- Galets alluviaux épars
- Galets de granite ou de micro-granite

Paléokarsts
- Paléokarsts sommitaux
- Paléokarsts à remplissage ferrugineux
- Minéralisation de calcite
- Paléokarsts à laminites
- Paléokarsts à spéléothèmes
- Spéléothèmes d'extension métrique
- Paléokarst à remplissages fluviatils allochtones

Masses glissées et érosion mécanique
- Brèches d'écroulement
- Masses glissées sur les marnes du Toarcien
- Cônes de déjection bouleversés et blocailles (torrentielles)

Formations périglaciaires
- Formations colluviales, éboulis et éléments périglaciaires

Travertins de sources et de rivières
- Travertins de Millau
- Travertins de source

Formations volcaniques
- Lapillis phréato-magmatiques, porcelanites Brèches d'éjectas et intrusions basaltiques
- Argile d'altération d'origine volcanique

Hydrographie
- Rivière
- Sources
- Pertes
- Paléo-pertes



CONTRIBUTIONS

Hubert CAMUS
Levés formations superficielles, morphologies karstiques

Bastien CHADELLE
Réalisation cartographique
Préparation des données SIG

SOURCES

Géologie
Cartes géologiques numériques vectorielles à 1/50.000 du BRGM
Cartes géologiques harmonisées au département, BRGM

Toponymie
Données hydrographiques fournies par le PNRGC
Tracé des cours d'eau BD CARTHAGE® IGN
MNT ombré d'après RGE ALTI® IGN (Résolution 1m)

SYSTÈME DE COORDONNEES
Projection métrique Lambert 1993 (IGN)

ECHELLE
1/100.000

DATE DE REALISATION
Juin 2019

VERSION
V1

NOM DU FICHIER
CN19_ANNEXE1.ai

UNITES HYDROGEOLOGIQUES

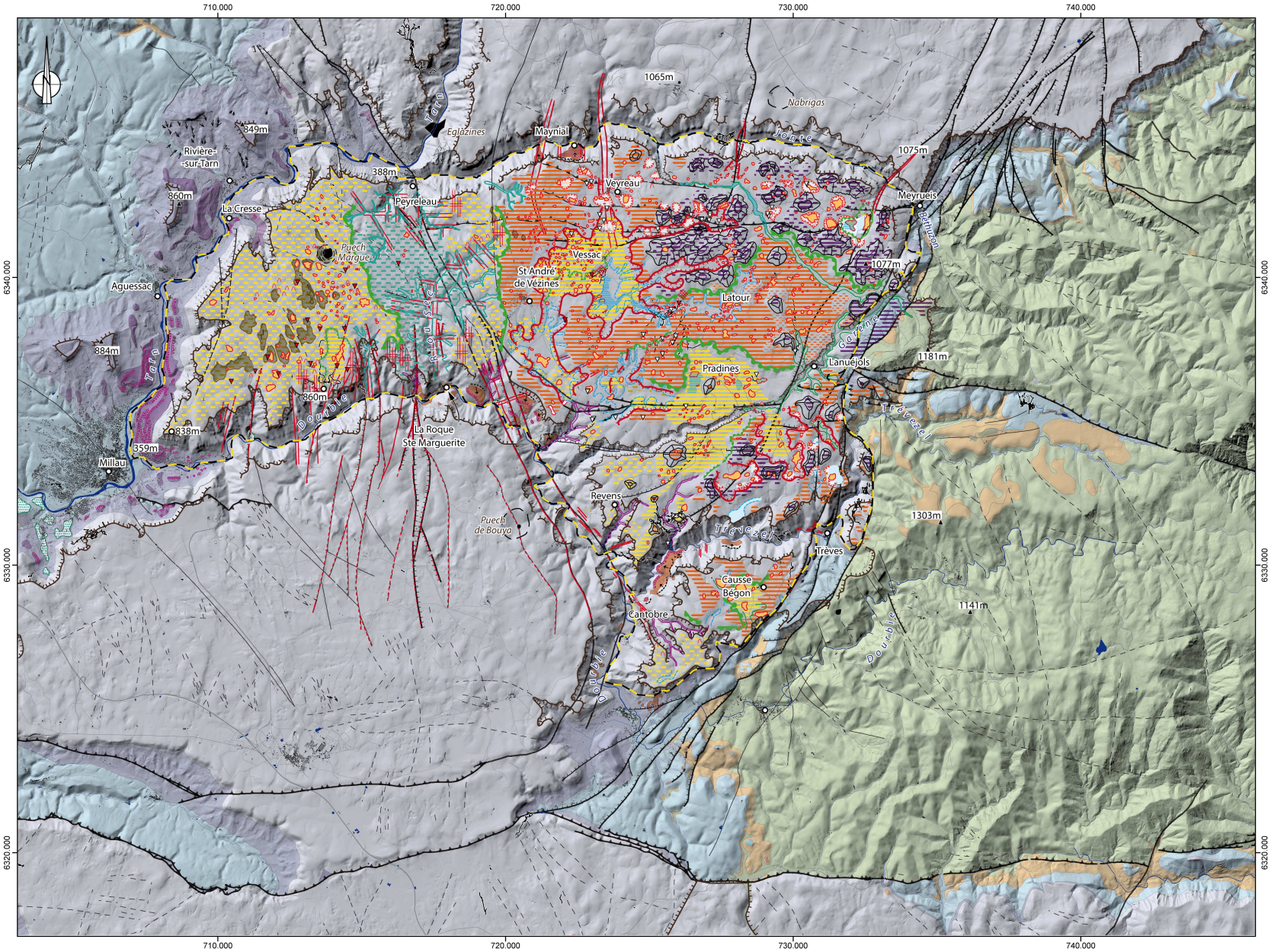
Jurassique
- U 1 : Aquifère supérieur
- U 2 : Imperméable liasique
- U 3 : Aquifère inférieur

Trias
- U 5 : Aquifère

Stéphanien et Permien
- U 6A : Permien Stéphanien

Paléozoïque
- U 6B : Socle paléozoïque

STRUCTURES GEOLOGIQUES
- Failles normales
- Axe anticlinal
- Failles inverses
- Axe synclinal
- Décrochements
- Failles mineures



Cartographie des formes du Causse Noir et du Causse Bégon.

GEOTER

Parc naturel régional des Grands Causses

Echelle : 1/100.000

Rapport : PRO-R-2018-08

0 2,5 5 10 km

Auteur : H. CAMUS
Vérificateur : C. DUVAIL
Approbateur : Ph. COMBES

ANNEXE 2

Planimétrie
- Périmètre d'étude
- Bordure du causse
- Bâtis et routes

Lapiaz et fracturations karstifiées
- Lapiaz sur fracturation
- Couloirs de brèches
- Rundkarren
- Mégalapiés ruiniformes

Surfaces et replats sommitaux
- Surface 1000 m et plus
- Buttes karstiques
- Surface dégradée 1000 m
- Surface dégradée 880 - 900 m
- Surface dégradée 800 - 850 m

Cavités
- Grottes
- Avens
- Réseaux karstiques
- Soutirages actifs et avens ouvert en 1980

Planchers de paléo-poljés
- Plancher du paléo-poljé de la Tour à 950 m
- Plancher de paléo-poljés de la surface à 850 m NGF : Paléo-poljés de Pradines, de Vessac, du Causse Bégon - dépression d'Espinassous et poljé du faisceau de Peyreleau-Laroque-St-Maguerite (niveau de Roques Altès)
- Plancher à 750 - 800 m NGF : Fluvio-poljé du faisceau de Peyreleau-Laroque-St-Maguerite (niveau de Montpellier-le-Vieux)
- Petits paléo-poljé : Sérigas, Espinassous, Layolle
- Bordures de corrosion

Formes en creux
- Dépressions fermées évoluant en canaules
- Mégadolines
- Dolines sommitales (Paléokarsts)
- Dolines indifférenciées
- Vallons fluviokarstiques de la surface 950 m
- Vallons fluviokarstiques endoréiques
- Vallons allogènes à amont cristallin
- Vallons imprimés dans les substratums calcaires et dolomitiques, guidés par les couloirs d'altération
- Ravins de raccordement aux canyons

Formes torrentielles
- Badlands
- Vallons inondés
- Ravinement torrentiel
- Cônes de déjection perturbées

Formes gravitaires
- Niches d'arrachement
- Loupes de glissement

Formes volcaniques
- Maar de Puech Margue
- Autres édifices volcaniques

Hydrographie
- Rivière
- Sources
- Pertes
- Paléo-pertes



CONTRIBUTIONS

Hubert CAMUS
Levés formations superficielles, morphologies karstiques

Bastien CHADELLE
Réalisation cartographique
Préparation des données SIG

SOURCES

Géologie
Cartes géologiques numériques vectorielles à 1/50.000 du BRGM
Cartes géologiques harmonisées au département, BRGM

Toponymie
Données hydrographiques fournies par le PNRGC
Tracé des cours d'eau BD CARTHAGE® IGN
MNT ombré d'après RGE ALTI® IGN (Résolution 1m)

SYSTÈME DE COORDONNEES
Projection métrique Lambert 1993 (IGN)

ECHELLE
1/100.000

DATE DE REALISATION
Juin 2019

VERSION
V1

NOM DU FICHIER
CN19_ANNEXE2.ai

UNITES HYDROGEOLOGIQUES

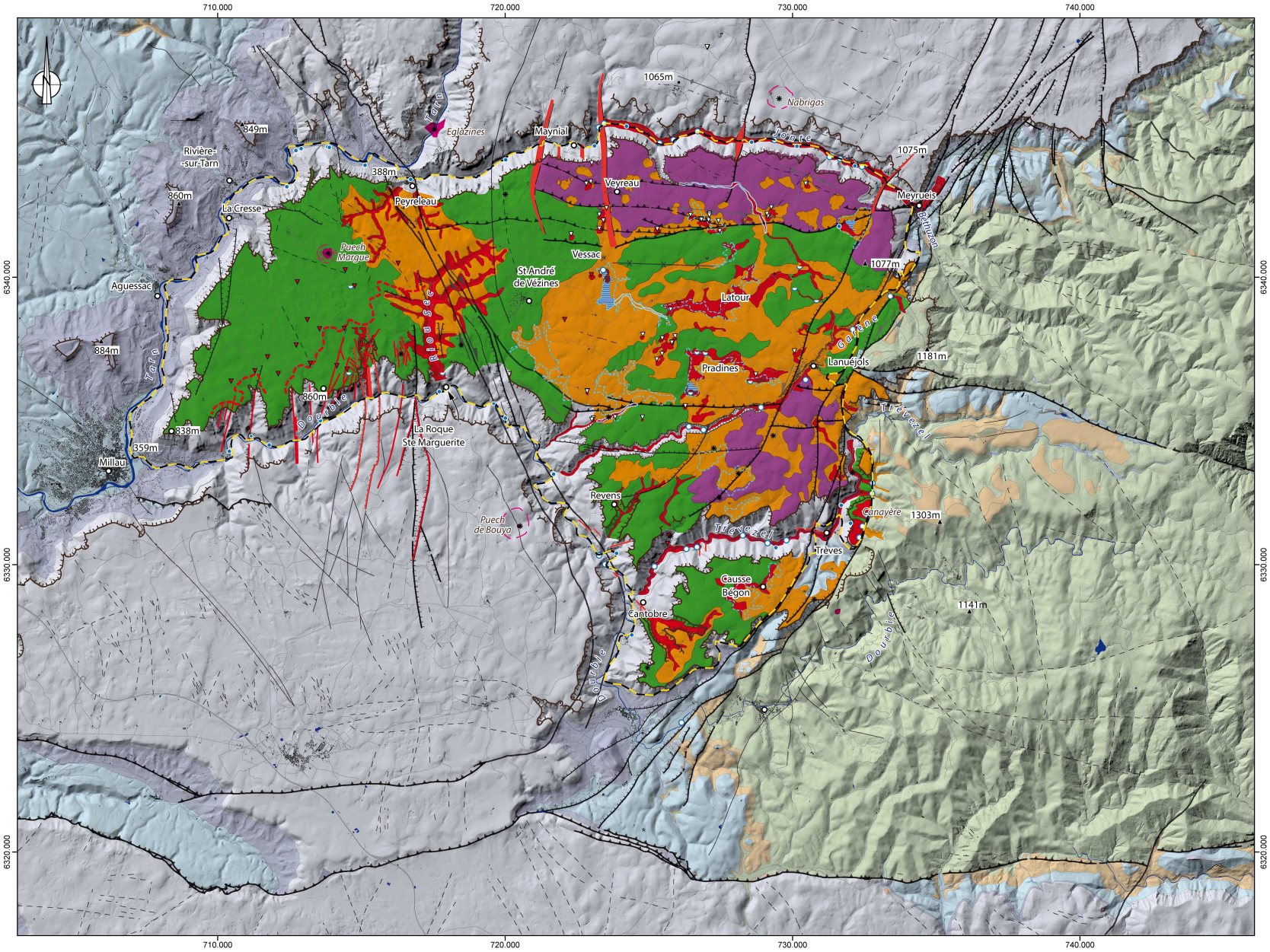
Jurassique
- U 1 : Aquifère supérieur
- U 2 : Imperméable liasique
- U 3 : Aquifère inférieur

Trias
- U 5 : Aquifère

Stéphanien et Permien
- U 6A : Permien Stéphanien

Paléozoïque
- U 6B : Socle paléozoïque

STRUCTURES GEOLOGIQUES
- Failles normales
- Axe anticlinal
- Failles inverses
- Axe synclinal
- Décrochements
- Failles mineures



CONTRIBUTIONS

Hubert CAMUS

Levés formations superficielles, et morphologies karstiques

Bastien CHADELLE

Réalisation cartographique
Préparation des données SIG

SOURCES

Géologie

Cartes géologiques numériques vectorielles à 1/50.000 du BRGM
Cartes géologiques harmonisées au département, BRGM

Toponymie

Données hydrographiques fournies par le PNRGC
Tracé des cours d'eau BD CARTHAGE® IGN
MNT ombré d'après RGE ALTI® IGN (Résolution 1m)

SYSTÈME DE COORDONNEES
Projection métrique Lambert 1993 (IGN)

ECHELLE
1/100.000

DATE DE REALISATION
Juin 2019

VERSION
V1

NOM DU FICHIER
CN19_ANNEXE3.ai

UNITES HYDROGEOLOGIQUES

Jurassique
- U 1 : Aquifère supérieur
- U 2 : Imperméable liasique
- U 3 : Aquifère inférieur

Trias
- U 5 : Aquifère

Stéphanien et Permien
- U 6A : Permien Stéphanien

Paléozoïque
- U 6B : Socle paléozoïque

STRUCTURES GEOLOGIQUES

- Failles normales
- Failles inverses
- Décrochements
- Axe anticlinal
- Axe synclinal
- Failles mineures

Cartographie des modalités d'infiltration du Causse Noir et du Causse Bégon.

GEOTER

Parc naturel régional des Grands Causses

Echelle : 1/100.000
Rapport : PRO-R-2018-08

0 2,5 5 10 km

Auteur : H. CAMUS
Vérificateur : C. DUVAIL
Approbateur : Ph. COMBES

ANNEXE 3

Planimétrie

- Périmètre d'étude
- Bordure du causse
- Bâtis et routes

Modalités d'infiltration

Infiltration concentrée rapide	Pertes et points d'absorption dans les talwegs, les canaules et les bordures de corrosion
Infiltration faible	Zones de concentration des eaux en surface et sub-surface
Infiltration diffuse contrariée	Tendance à la concentration des eaux en fond de dépressions colmatées
Infiltration diffuse	Pas de concentration des eaux en surface

Structures d'infiltration verticales

- Couloirs d'altération profondes
- Intrusion volcanique
- Limite de décolmatage des mégalapiés par infiltration verticale

Hydrographie et indicateurs de drainage en surface

- Rivière
- Ecoulements torrentiels 1980
- Sources
- Pertes
- Paléo-pertes
- Dépressions endoréiques draînées
- Point d'absorption ouverts lors des intempéries de 1980
- Zones inondées 1980



GEOTER

POLE GEO-ENVIRONNEMENT
ZAC Via Domitia - 115 avenue de la Capelado
F34 160 CASTRIES
Tél : + 33 (0)4 67 59 18 11
Fax : + 33 (0)4 67 59 18 24
Email : geoter@geoter.fr
Site Web : http://www.geoter.fr

ETUDE HYDROGEOLOGIQUE DU CAUSSE NOIR

LOT 2

Géomorphologie

ATLAS DES FIGURES EN A3

Parc naturel régional des Grands Causses

Figure n°1 Zone d'étude et toponymie des lieux-dits utilisés du Causse Noir à 1/100 000e
Figure n°2 Carte lithostructurale du Causse Noir à 1/100 000e
Figure n°3 Carte hypsométrique du Causse Noir à 1/100 000e
Figure n°4 Carte des surfaces du Causse Noir à 1/100 000e
Figure n°5 Carte des formations superficielles et couvertures karstiques du Causse Noir à 1/100 000e
Figure n°6 Carte des formes karstiques et des paléosurfaces du Causse Noir à 1/100 000e
Figure n°7 Carte des modalités d'infiltration du Causse Noir à 1/100 000e

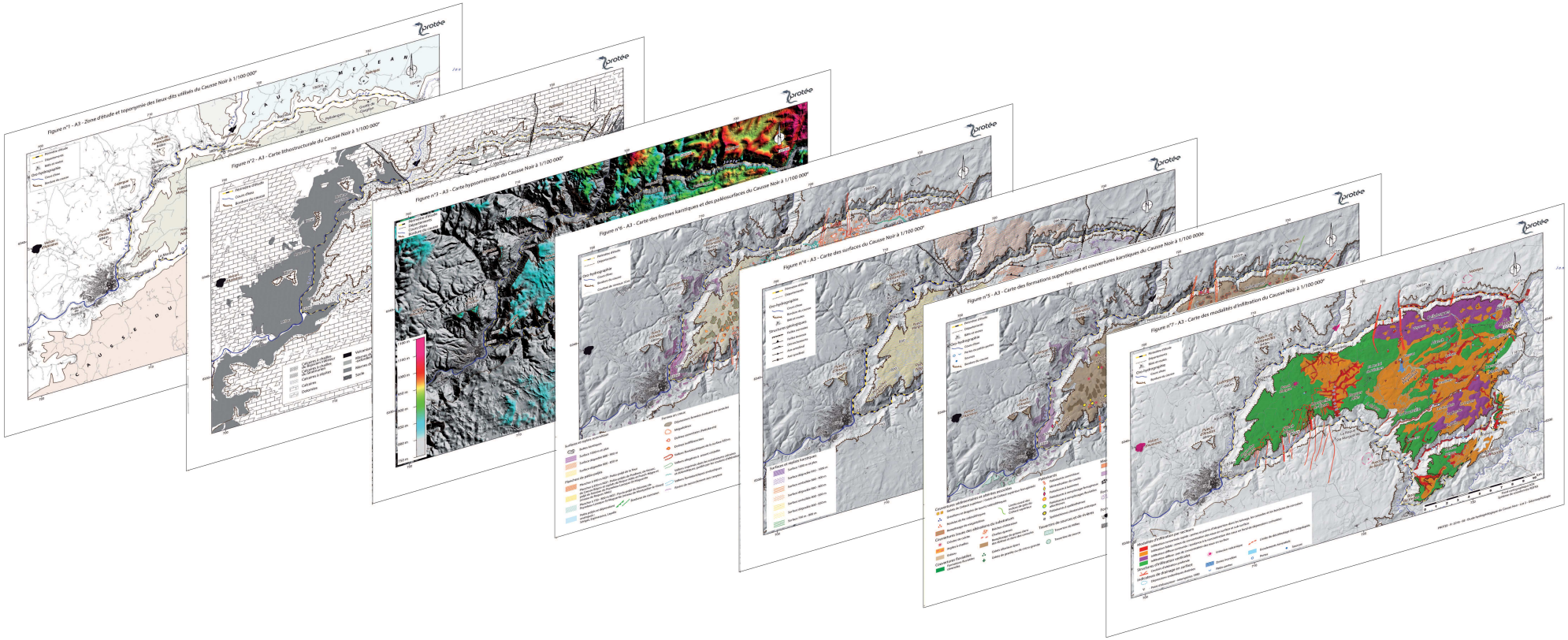
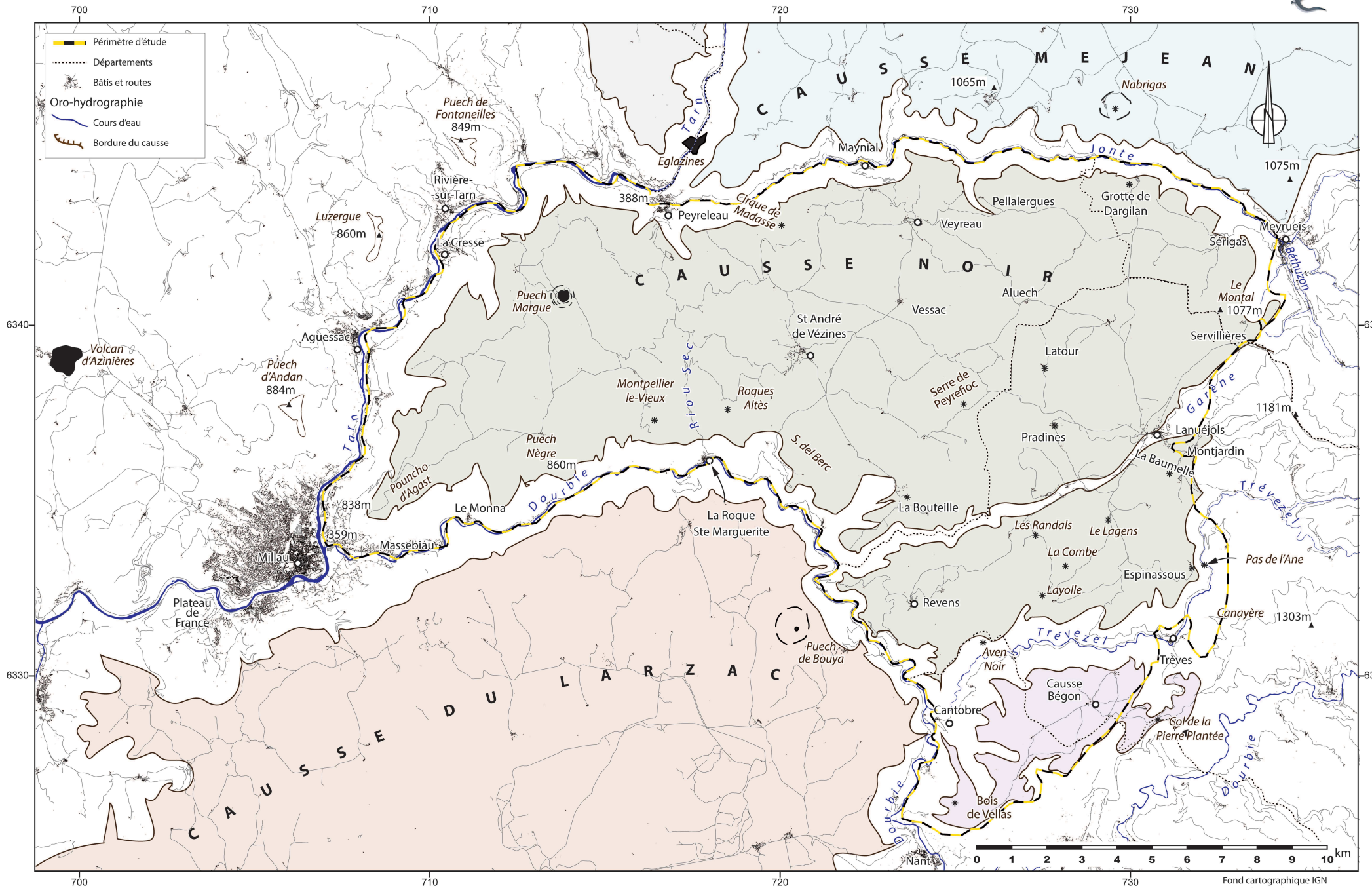


Figure n°1 - A3 - Zone d'étude et toponymie des lieux-dits utilisés du Causse Noir à 1/100 000e



Fond cartographique IGN
Système de coordonnée RGF93

Figure n°2 - A3 - Carte lithostructurale du Causse Noir à 1/100 000e

